

на амплитуды контактных напряжений и усилий в оболочке. Амплитуды этих величин уменьшаются с ростом  $c^{(1)}$ , что соответствует случаям возрастания теплоемкости материала заполнителя или уменьшения теплоемкости основного материала. В предельном случае  $c^{(1)} \rightarrow \infty$ , как это видно из соотношений (17)<sub>1</sub> — (19)<sub>1</sub>, напряжения и усилия исчезают.

Быстрога сходимости рядов (13) зависит от относительного расстояния центра включения от плоской границы  $d_*$ . Так, если при  $d_* = 2$  ограничиться 4—5 членами рядов (13), то относительная погрешность составляет 0,5%.

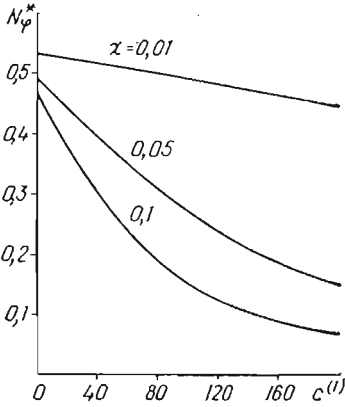


Рис. 4

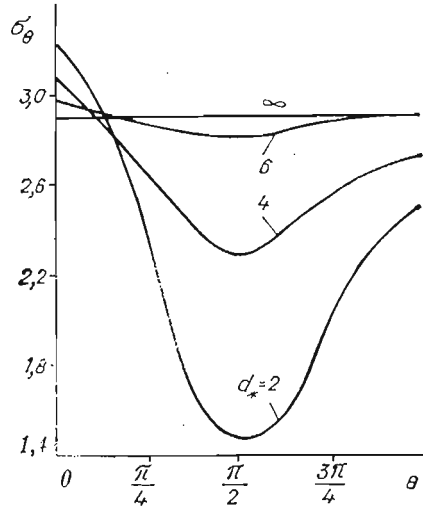


Рис. 5

Если  $d_* = 4$ , то необходимо взять 3 члена рядов (13) при указанной погрешности. При  $d_* \geq 6$  достаточно ограничиться первыми членами рядов (13); это свидетельствует о том, что влияние плоской границы при  $d_* \geq 6$  мало сказывается на распределении напряжений в окрестности включения, а также на величину усилий в оболочке.

1. Воробец Б. С. Динамические термонапряжения в полупространстве, вызываемые распределенными в сферическом включении периодическими источниками тепла. — *Мат. методы и физ.-мех. поля*, 1982, вып. 15, с. 52—57.
2. Морс Ф. М., Фешбах Г. *Методы теоретической физики*: В 2-х т. — М.: Изд-во иностр. лит., 1958—1960. — Т. 1. 930 с. Т. 2. 886 с.
3. Thiruvankatachar V. R., Viswanathan K. Dynamic response of an elastic half-space to time dependent surface tractions over an embedded spherical cavity. — *Proc. Roy. Soc. A*, 1965, 287, N 1411, p. 549—567.

Институт прикладных проблем  
механики и математики АН УССР

Поступила в редколлегию  
04.02.81

УДК 539.377

Н. Н. Тимошенко

#### К ОПТИМИЗАЦИИ НАПРЯЖЕННОГО СОСТОЯНИЯ СВАРНЫХ ПОЛОГИХ ОБОЛОЧЕК ВРАЩЕНИЯ

Рассмотрим тонкие пологие оболочки вращения постоянной толщины  $2h$  с начальными остаточными напряжениями, вызванными начальными необратимыми остаточными деформациями  $e_{ij}^{(n)}$  ( $i, j = 1, 2$ ). С целью определения оптимального по напряжениям распределения необратимых остаточных деформаций в рассматриваемой оболочке наряду с заданным распределением начальных необратимых остаточных деформаций  $e_{ij}^{(n)}$  рассмотрим распределение

$$e_{ij}^{(0)} = e_{ij}^{(n)} + e_{ij}^{(d)}. \quad (1)$$

Здесь  $e_{ij}^{(\delta)}$  — компоненты дополнительных к начальным необратимых остаточных деформаций, которые характеризуют изменение в распределении  $e_{ij}^{(n)}$ . Если распределение  $e_{ij}^{(n)}$  задано, задача об определении напряженно-деформированного состояния в рассматриваемой оболочке в рамках гипотезы Кирхгофа — Лява сводится к решению системы разрешающих уравнений

$$\begin{aligned} \nabla^2 \nabla^2 \varphi - \nabla_k^2 \omega + \frac{1}{r} \left[ \frac{\partial}{\partial r} \left( \frac{\partial r e_{22}^{(o)}}{\partial r} - \varepsilon_1^{(o)} - \frac{\partial \varepsilon_{12}^{(o)}}{\partial \beta} \right) + \right. \\ \left. + \frac{1}{r} \frac{\partial}{\partial \beta} \left( \frac{\partial \varepsilon_1^{(o)}}{\partial \beta} - \frac{\partial r e_{12}^{(o)}}{\partial r} - \varepsilon_{12}^{(o)} \right) \right] = 0, \\ \nabla^2 \nabla^2 \omega + b \nabla_k^2 \varphi + \nabla^2 (\varkappa_1^{(o)} + \varkappa_2^{(o)}) - \frac{1-\nu}{r} \left[ \frac{\partial}{\partial r} \left( \frac{\partial r \varkappa_2^{(o)}}{\partial r} - \varkappa_1^{(o)} - \frac{\partial \varkappa_{12}^{(o)}}{\partial \beta} \right) + \right. \\ \left. + \frac{1}{r} \frac{\partial}{\partial \beta} \left( \frac{\partial \varkappa_1^{(o)}}{\partial \beta} - \frac{\partial r \varkappa_{12}^{(o)}}{\partial r} - \varkappa_{12}^{(o)} \right) \right] = 0, \end{aligned} \quad (2)$$

где

$$\begin{aligned} \varepsilon_i^{(o)} &= \frac{1}{2h} \int_{-h}^h e_{ii}^{(o)} d\gamma; & \varepsilon_{12}^{(o)} &= \frac{1}{2h} \int_{-h}^h e_{12}^{(o)} d\gamma; \\ \varkappa_i^{(o)} &= \frac{3}{2h^3} \int_{-h}^h e_{ii}^{(o)} \gamma d\gamma; & \varkappa_{12}^{(o)} &= \frac{3}{2h^3} \int_{-h}^h e_{12}^{(o)} \gamma d\gamma; \\ \nabla^2 &= \frac{1}{r} \left[ \frac{\partial}{\partial r} \left( r \frac{\partial}{\partial r} \right) + \frac{1}{r} \frac{\partial^2}{\partial \beta^2} \right]; & \nabla_k^2 &= \frac{1}{r} \left[ \frac{\partial}{\partial r} \left( k_2 r \frac{\partial}{\partial r} \right) + \frac{k_1}{r} \frac{\partial^2}{\partial \beta^2} \right]; \end{aligned}$$

$\varphi$ ,  $\omega$  — силовая функция и функция прогибов;  $b = \frac{D_0}{D_1}$ ;  $D_0 = 2Eh$  — жесткость на растяжение;  $D_1 = \frac{2Eh^3}{3(1-\nu^2)}$  — жесткость на изгиб;  $E$  — модуль упругости;  $\nu$  — коэффициент Пуассона;  $k_1, k_2$  — главные кривизны срединной поверхности;  $r, \beta$  — полярные координаты с полюсом на оси вращения;  $\gamma$  — координата по толщине. При этом должны удовлетворяться определенные граничные условия, которые соответствуют конкретным условиям закрепления краев оболочки.

Ставим задачу о нахождении такого распределения  $e_{ij}^{(\delta)}$  необратимых остаточных деформаций, создание которого совместно с начальным распределением  $e_{ij}^{(n)}$  необратимых остаточных деформаций приводило бы к оптимальному понижению уровня начального напряженного состояния. Эта задача решается с использованием методов вариационного исчисления.

В качестве критерия оптимальности принимаем энергию упругой деформации оболочки [2], которая является интегральной мерой ее напряженного состояния и в рассматриваемом случае представляет собой следующий функционал на множестве разрешающих функций  $\varphi, \omega, e_{11}^{(\delta)}, e_{22}^{(\delta)}, e_{12}^{(\delta)}$ :

$$K[\varphi, \omega, e_{11}^{(\delta)}, e_{22}^{(\delta)}, e_{12}^{(\delta)}] = \frac{D_1}{2} \left( \int_{r_0}^{r_*} \int_0^{2\pi} F r dr d\beta + \int_{r_0}^{r_*} \int_0^{2\pi} \int_{-h}^h F_0 r dr d\beta d\gamma \right). \quad (3)$$

Здесь

$$\begin{aligned} F &= b \left[ \left( \frac{\partial^2 \varphi}{\partial r^2} \right)^2 - 2\nu \frac{\partial^2 \varphi}{\partial r^2} \left( \frac{1}{r} \frac{\partial \varphi}{\partial r} + \frac{1}{r^2} \frac{\partial^2 \varphi}{\partial \beta^2} \right) + \left( \frac{1}{r} \frac{\partial \varphi}{\partial r} + \frac{1}{r^2} \frac{\partial^2 \varphi}{\partial \beta^2} \right)^2 + \right. \\ &+ 2(1+\nu) \left( \frac{1}{r^2} \frac{\partial \varphi}{\partial \beta} - \frac{1}{r} \frac{\partial^2 \varphi}{\partial r \partial \beta} \right)^2 \left. + \left( \frac{\partial^2 \omega}{\partial r^2} \right)^2 + 2\nu \frac{\partial^2 \omega}{\partial r^2} \left( \frac{1}{r} \frac{\partial \omega}{\partial r} + \right. \right. \\ &+ \left. \frac{1}{r^2} \frac{\partial^2 \omega}{\partial \beta^2} \right) + \left( \frac{1}{r} \frac{\partial \omega}{\partial r} + \frac{1}{r^2} \frac{\partial^2 \omega}{\partial \beta^2} \right)^2 + 2(1-\nu) \left( \frac{1}{r^2} \frac{\partial \omega}{\partial \beta} - \frac{1}{r} \frac{\partial^2 \omega}{\partial r \partial \beta} \right)^2 + \\ &+ \left. 2 \left( \frac{\partial^2 \omega}{\partial r^2} + \frac{\nu}{r} \frac{\partial \omega}{\partial r} + \frac{\nu}{r^2} \frac{\partial^2 \omega}{\partial \beta^2} \right) \varkappa_1^{(o)} + 2 \left( \frac{1}{r} \frac{\partial \omega}{\partial r} + \frac{1}{r^2} \frac{\partial^2 \omega}{\partial \beta^2} + \right. \right. \end{aligned}$$

$$\begin{aligned}
& + \nu \frac{\partial^2 \omega}{\partial r^2} \kappa_2^{(0)} + 4(1-\nu) \frac{1}{r} \left( \frac{\partial^2 \omega}{\partial r \partial \beta} - \frac{1}{r} \frac{\partial \omega}{\partial \beta} \right) \kappa_{12}^{(0)} - \\
& - \frac{3}{h^2} (\varepsilon_1^{(0)^2} + 2\nu e_1^{(0)} e_2^{(0)} + \varepsilon_2^{(0)^2} + 2(1-\nu) \varepsilon_{12}^{(0)^2}); \\
F_0 &= \frac{3}{h^3} (e_{11}^{(0)^2} + 2\nu e_{11}^{(0)} e_{22}^{(0)} + e_{22}^{(0)^2} + 2(1-\nu) e_{12}^{(0)^2});
\end{aligned}$$

$r = r_0, r_*$  — краевые сечения оболочки.

Сформулируем вариационную задачу о нахождении экстремалей функционала (3) на множестве допустимых функций  $\varphi, \omega, e_{11}^{(0)}, e_{22}^{(0)}, e_{12}^{(0)}$ , которые удовлетворяют связям (2) и условиям на распределение:

$$\Phi_j \equiv \Phi_j(e_{11}^{(0)}, e_{22}^{(0)}, e_{12}^{(0)}) = 0 \quad (j = \overline{1, k}; k \leq 2). \quad (4)$$

Решение этой задачи на условный экстремум можно получить методом множителей Лагранжа [1]. Из необходимого условия экстремума получаем уравнения Остроградского—Эйлера, которые вместе с уравнениями (2) и условиями (4) составляют полную систему соотношений для нахождения допустимых функций  $\varphi, \omega, e_{11}^{(0)}, e_{22}^{(0)}, e_{12}^{(0)}$ , множителей Лагранжа и условий закрепления краев оболочки. Оптимальные необратимые остаточные деформации  $e_{ij}^{(0)}$  из решения сформулированной экстремальной задачи определяются следующим образом:

$$\begin{aligned}
e_{11}^{(0)} &= \varepsilon_1^{(0)} + \gamma \kappa_1^{(0)} - \frac{h^3}{3(1-\nu^2)} \sum_{j=1}^k \left[ \mu_j \left( \frac{\partial \Phi_j}{\partial e_{11}^{(0)}} - \nu \frac{\partial \Phi_j}{\partial e_{22}^{(0)}} \right) - \frac{1}{2h} \int_{-h}^h \mu_j \times \right. \\
& \times \left. \left( \frac{\partial \Phi_j}{\partial e_{11}^{(0)}} - \nu \frac{\partial \Phi_j}{\partial e_{22}^{(0)}} \right) d\gamma - \frac{3\gamma}{2h^3} \int_{-h}^h \mu_j \left( \frac{\partial \Phi_j}{\partial e_{11}^{(0)}} - \nu \frac{\partial \Phi_j}{\partial e_{22}^{(0)}} \right) \gamma d\gamma \right], \\
e_{22}^{(0)} &= \varepsilon_2^{(0)} + \gamma \kappa_2^{(0)} - \frac{h^3}{3(1-\nu^2)} \sum_{j=1}^k \left[ \mu_j \left( \frac{\partial \Phi_j}{\partial e_{22}^{(0)}} - \nu \frac{\partial \Phi_j}{\partial e_{11}^{(0)}} \right) - \frac{1}{2h} \int_{-h}^h \mu_j \times \right. \\
& \times \left. \left( \frac{\partial \Phi_j}{\partial e_{22}^{(0)}} - \nu \frac{\partial \Phi_j}{\partial e_{11}^{(0)}} \right) d\gamma - \frac{3\gamma}{2h^3} \int_{-h}^h \mu_j \left( \frac{\partial \Phi_j}{\partial e_{22}^{(0)}} - \nu \frac{\partial \Phi_j}{\partial e_{11}^{(0)}} \right) \gamma d\gamma \right], \quad (5) \\
e_{12}^{(0)} &= \varepsilon_{12}^{(0)} + \gamma \kappa_{12}^{(0)} - \frac{h^3}{6(1-\nu)} \times \\
& \times \sum_{j=1}^k \left( \mu_j \frac{\partial \Phi_j}{\partial e_{12}^{(0)}} - \frac{1}{2h} \int_{-h}^h \mu_j \frac{\partial \Phi_j}{\partial e_{12}^{(0)}} d\gamma - \frac{3\gamma}{2h^3} \int_{-h}^h \mu_j \frac{\partial \Phi_j}{\partial e_{12}^{(0)}} \gamma d\gamma \right),
\end{aligned}$$

а компоненты деформаций срединной поверхности удовлетворяют системе уравнений

$$\begin{aligned}
\kappa_1^{(0)} - \kappa_2^{(0)} - r \frac{\partial \kappa_2^{(0)}}{\partial r} + \frac{\partial \kappa_{12}^{(0)}}{\partial \beta} + \frac{1}{2(1-\nu^2)} \sum_{j=1}^k \left[ (1+\nu) \int_{-h}^h \mu_j \left( \frac{\partial \Phi_j}{\partial e_{11}^{(0)}} - \frac{\partial \Phi_j}{\partial e_{22}^{(0)}} \right) \gamma d\gamma + \right. \\
\left. + r \frac{\partial}{\partial r} \int_{-h}^h \mu_j \left( \nu \frac{\partial \Phi_j}{\partial e_{11}^{(0)}} - \frac{\partial \Phi_j}{\partial e_{22}^{(0)}} \right) \gamma d\gamma \right] + \frac{1}{4(1-\nu)} \sum_{j=1}^k \left( \frac{\partial}{\partial \beta} \int_{-h}^h \mu_j \frac{\partial \Phi_j}{\partial e_{12}^{(0)}} \gamma d\gamma \right) = 0, \\
\frac{\partial \kappa_1^{(0)}}{\partial \beta} - r \frac{\partial \kappa_{12}^{(0)}}{\partial r} - 2\kappa_{12}^{(0)} + \frac{1}{2(1-\nu^2)} \sum_{j=1}^k \left[ \frac{\partial}{\partial \beta} \int_{-h}^h \mu_j \left( \frac{\partial \Phi_j}{\partial e_{11}^{(0)}} - \nu \frac{\partial \Phi_j}{\partial e_{22}^{(0)}} \right) \gamma d\gamma - \right. \\
\left. - \frac{1}{2} \int_{-h}^h \mu_j \frac{\partial \Phi_j}{\partial e_{12}^{(0)}} \gamma d\gamma \right] = 0, \quad (6)
\end{aligned}$$

$$\begin{aligned}
& k_2 \kappa_1^{(0)} + k_1 \kappa_2^{(0)} + \frac{1}{r} \frac{\partial}{\partial r} \left( r \frac{\partial \varepsilon_2^{(0)}}{\partial r} + \varepsilon_2^{(0)} - \varepsilon_1^{(0)} - \frac{\partial \varepsilon_{12}^{(0)}}{\partial \beta} \right) + \\
& + \frac{1}{r} \frac{\partial}{\partial \beta} \left( \frac{\partial \varepsilon_1^{(0)}}{\partial \beta} - 2\varepsilon_{12}^{(0)} - r \frac{\partial \varepsilon_{12}^{(0)}}{\partial r} \right) + \frac{1}{2(1-\nu^2)} \sum_{j=1}^k \left[ k_2 \int_{-h}^h \mu_j \left( \frac{\partial \Phi_j}{\partial \varepsilon_{11}^{(0)}} - \right. \right. \\
& \left. \left. - \nu \frac{\partial \Phi_j}{\partial \varepsilon_{22}^{(0)}} \right) \gamma d\gamma - k_1 \int_{-h}^h \mu_j \left( \nu \frac{\partial \Phi_j}{\partial \varepsilon_{11}^{(0)}} - \frac{\partial \Phi_j}{\partial \varepsilon_{22}^{(0)}} \right) \gamma d\gamma \right] = 0.
\end{aligned}$$

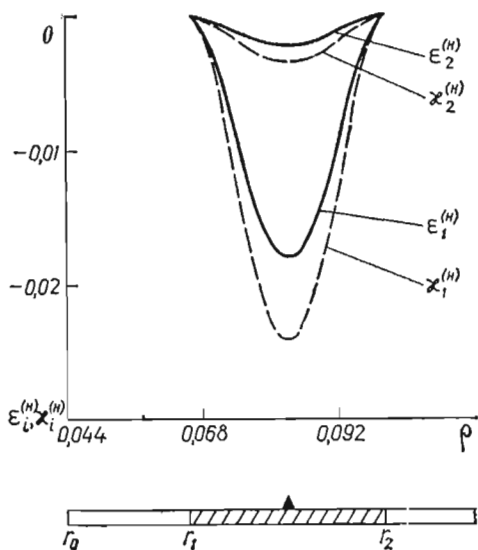


Рис. 1

Здесь  $\mu_j$  ( $j = \overline{1, k}$ ;  $k \leq 2$ ) — множители Лагранжа. При отсутствии ограничений вида (4) из соотношений (5), (6) получим

$$\begin{aligned}
\varepsilon_{ii}^{(0)} = \varepsilon_i^{(0)} + \gamma \kappa_i^{(0)}, \quad \varepsilon_{12}^{(0)} = \varepsilon_{12}^{(0)} + \gamma \kappa_{12}^{(0)} \\
(i = 1, 2); \quad (7)
\end{aligned}$$

$$\kappa_1^{(0)} - \kappa_2^{(0)} - r \frac{\partial \kappa_2^{(0)}}{\partial r} + \frac{\partial \kappa_{12}^{(0)}}{\partial \beta} = 0,$$

$$\frac{\partial \kappa_1^{(0)}}{\partial \beta} - r \frac{\partial \kappa_{12}^{(0)}}{\partial r} - 2\kappa_{12}^{(0)} = 0,$$

$$\begin{aligned}
k_2 \kappa_1^{(0)} + k_1 \kappa_2^{(0)} + \frac{1}{r} \frac{\partial}{\partial r} \left( r \frac{\partial \varepsilon_2^{(0)}}{\partial r} + \right. \\
\left. + \varepsilon_2^{(0)} - \varepsilon_1^{(0)} - \frac{\partial \varepsilon_{12}^{(0)}}{\partial \beta} \right) +
\end{aligned}$$

$$+ \frac{1}{r} \frac{\partial}{\partial \beta} \left( \frac{\partial \varepsilon_1^{(0)}}{\partial \beta} - 2\varepsilon_{12}^{(0)} - r \times$$

$$\times \frac{\partial \varepsilon_{12}^{(0)}}{\partial r} \Big) = 0. \quad (8)$$

Таким образом, оптимальные дополнительные к начальным необратимые остаточные деформации  $e_{ij}^{(d)}$ , полученные из решения вариационной задачи при отсутствии ограничений на их распределение, вместе с начальными необратимыми остаточными деформациями  $e_{ij}^{(n)}$  линейны по толщине и удовлетворяют условиям совместности.

Система дифференциальных уравнений (8) позволяет с учетом соотношений (1) при заданном распределении  $e_{ij}^{(n)}$  найти множество локально распределенных оптимальных остаточных деформаций  $e_{ij}^{(d)}$ , создание которых обеспечивает полное снятие начальных остаточных напряжений. Это дает возможность целевого выбора  $e_{ij}^{(d)}$  с учетом возможностей их реализации на практике.

Исследование полученных результатов проведено для полой сферической оболочки с круговым отверстием радиуса  $r = r_0$  и кольцевым сварным швом радиуса  $r = r_0^*$ , в области  $r_1 \leq r \leq r_2$  ( $r_0^* > r_0$ ,  $r_1 < r_0^* < r_2$ ) которого заданы начальные осесимметричные необратимые остаточные деформации  $\varepsilon_i^{(n)}$ ,  $\kappa_i^{(n)}$  ( $i = 1, 2$ ).

Из системы уравнений (8) определяем такие отличные от нуля оптимальные дополнительные к начальным необратимые остаточные деформации:

$$\varepsilon_1^{(d)} = mr^{m-1} \int_{r_i}^r (r^*)^{-m} f_i dr^*, \quad \varepsilon_2^{(d)} = r^{m-1} \int_{r_i}^r (r^*)^{-m} f_i dr^*, \quad (9)$$

$$\kappa_2^{(d)} = \frac{r_i}{r} \kappa_2^{(n)}(r_i) - \kappa_2^{(n)} + \frac{1}{r} \int_{r_i}^r \kappa_1^{(n)} dr^*,$$

где

$$f_i = \varepsilon_i^{(n)} - \frac{d}{dr} (r\varepsilon_2^{(n)}) + \frac{1}{R} \int_{r_0}^r \left( r^* \int_{r_i}^{r^*} \kappa_1^{(n)} d\xi + r^* \kappa_1^{(n)} \right) dr^*, \quad i = 1, 2;$$

$R$  — радиус оболочки. При этом полученные деформации (9) локализованы в области  $r_0 \leq r \leq r_2$  ( $i = 1, -\infty < m < \infty$ ) или распределены в области  $r \geq r_1$  ( $i = 2, m < 1$ ).

Численные исследования выполнены для случая, когда распределение начальных необратимых остаточных деформаций согласно данным, приве-

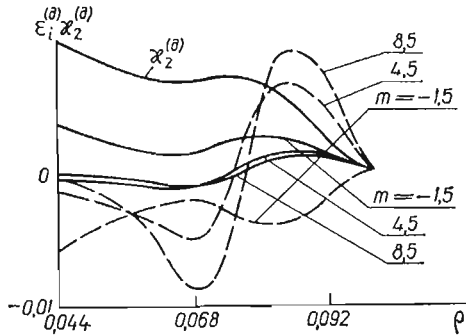


Рис. 2

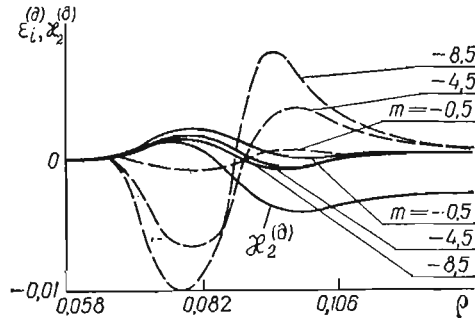


Рис. 3

денным в работе [3], характеризуется в области  $r_1 \leq r \leq r_2$  функциями

$$\varepsilon_1^{(n)} = a_1 (\rho - \rho_1)^2 (\rho - \rho_2)^2, \quad \varepsilon_2^{(n)} = a_2 (\rho - \rho_1)^2 (\rho - \rho_2)^2, \quad (10)$$

$$\kappa_1^{(n)} = a_3 (\rho - \rho_1)^2 (\rho - \rho_2)^2, \quad \kappa_2^{(n)} = a_4 (\rho - \rho_1)^2 (\rho - \rho_2)^2.$$

Здесь  $\rho = \frac{r}{R}$ ;  $\rho_1 = \frac{r_1}{R} = 0,066$ ;  $\rho_2 = \frac{r_2}{R} = 0,1$ ;  $a_1 = -2,15 \cdot 10^5$ ;  $a_2 = -2,79 \cdot 10^4$ ;  $a_3 = -2,87 \cdot 10^5$ ;  $a_4 = -4,07 \cdot 10^4$ .

Графики распределений начальных необратимых остаточных деформаций (10) в зависимости от координаты  $\rho$  приведены на рис. 1, откуда видно, что приведенные деформации  $\varepsilon_i^{(n)}$ ,  $\kappa_i^{(n)}$  ( $i = 1, 2$ ) отрицательного знака. При этом  $\varepsilon_1^{(n)}$ ,  $\kappa_1^{(n)}$  значительно больше  $\varepsilon_2^{(n)}$ ,  $\kappa_2^{(n)}$  по абсолютной величине соответственно. Оптимальные дополнительные необратимые остаточные деформации (9), локализованные в области  $r_0 \leq r \leq r_2$ , представлены на рис. 2, в области  $r \geq r_1$  — на рис. 3. При этом графики распределений  $\varepsilon_i^{(d)}$  (сплошные линии) и  $\varepsilon_2^{(d)}$  (штриховые) приведены на этих рисунках для различных значений параметра  $m$ .

1. Гельфанд И. М., Фсмин С. В. Вариационное исчисление. — М. : Физматгиз, 1961. — 228 с.
2. Григолюк Э. И., Подстригач Я. С., Бурак Я. И. Оптимизация нагрева оболочек и пластин. — Киев : Наук. думка, 1979. — 364 с.
3. Недосека А. Я., Казимиров А. А., Пархоменко И. В. Устойчивость листа с вваренным цилиндрическим фланцем. — Автомат. сварка, 1972, № 8, с. 27—30.

Институт прикладных проблем механики и математики АН УССР

Поступила в редколлегию  
12.06.79